

АНАЛИЗ РЕАКЦИИ СРЫВА ПРОТОНА $^{12}\text{C}(\text{He},d)^{13}\text{N}$ В РЕЗОНАНСНОЕ СОСТОЯНИЕ

С.А. Туракулов^{1,2}, С.В. Артемов¹, Р. Ярмухамедов¹

¹Институт ядерной физики АН РУз, г. Ташкент, Узбекистан

²Национальный университет Узбекистана им. Мирзо Улугбека, г. Ташкент, Узбекистан

В рамках обобщенной периферийной модели рассмотрен процесс срыва протона в реакции $^{12}\text{C}(\text{He},d)^{13}\text{N}$ в первое возбужденное резонансное состояние ($E^* = 2.365 \text{ МэВ}; J^\pi = 1/2^+$) ядра ^{13}N при энергиях $E_{\text{He}} = 16, 17, 18, 34$ и 81.4 МэВ . Определено значение его протонной ширины Γ_p . Показано, что учет трехчастичных кулоновских эффектов в реакции передачи протона существенно изменяет абсолютную величину рассчитываемого дифференциального сечения, что приводит к уменьшению извлекаемой величины Γ_p . Полученное значение протонной ширины $\Gamma_p = (30.1 \pm 0.8) \text{ кэВ}$ для ядра ^{13}N ($E^* = 2.365 \text{ МэВ}$) хорошо согласуется с экспериментальным значением $(31.7 \pm 0.8) \text{ кэВ}$.

Ключевые слова: ядерная физика, реакция срыва заряженной частицы, резонансное состояние, механизм передачи частиц, периферийная модель, дифференциальное сечение, трехчастичная кулоновская динамика, резонансная ширина, ядерная вершинная константа, асимптотический нормировочный коэффициент.

Введение

Изучению реакций, приводящих к образованию резонансных состояний (РС) конечных ядер и, в частности, реакции срыва протона в РС посвящено большое количество работ (см., например, работы [1–6] и приведенные в них ссылки). Большой интерес к этим реакциям связан с тем фактом, что они позволяют получить надежную информацию о механизмах ядерных реакций и свойствах РС ядер путем комбинирования анализа данных по реакциям срыва протона в РС [2, 6].

Как правило, для расчета реакций срыва протона в РС используется метод искаженных волн (МИВ) [2] и полюсная периферийная модель [3–6]. В МИВ в выражении для амплитуды вместо волновой функции связанныго состояния захватываемого протона в конечном ядре берется волновая функция непрерывного спектра, описывающая резонансное состояние протона в ядре и являющаяся решением уравнения Шредингера с одиночным потенциалом – волновой функцией Гамова с расходящейся асимптотикой на бесконечности. Параметры этого потенциала подгоняются так, чтобы получить РС с требуемыми характеристиками. В этом случае для расчета радиальных интегралов используется, как правило, метод Абеля – Зельдовича путем введения регуляризационного фактора $\exp(-\epsilon r^2)$. Полученный интеграл вычисляется при $\epsilon > 0$ и затем численно экстраполируется к пределу $\epsilon \rightarrow 0$. Хотя этот метод позволяет преодолеть формальные трудности, возникающие при расчете радиальных интегралов в МИВ, тем не менее численные расчеты амплитуды реакции срыва в РС в рамках МИВ довольно сложны.

В работах [3–6] была развита полюсная периферийная модель реакции срыва $(A(x,y)B^*$ заряженной частицы a в РС, где $x = y + a$ и $B^* = A + a$), отвечающая механизмам, описываемым диаграммами рис. 1. Согласно работе [6], реакция $A(x,y)B^*$ последовательно протекает в два этапа: сначала происходит срыв заряженной частицы в РС ядра B^* , а затем распад РС на две частицы a и A (рис. 1, a). Если рассматриваются узкие изолированные состояния, распад которых происходит

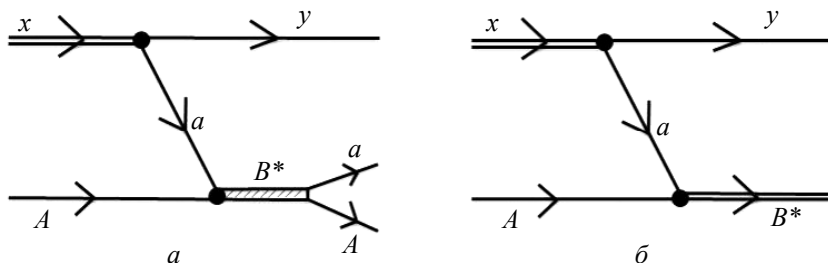


Рис. 1. Полюсные диаграммы для реакции срыва заряженной частицы a в резонансное состояние

только по упругому каналу ($B^* \rightarrow A+a$), то дифференциальное сечение (ДС) реакции, проинтегрированное по всем кинематическим переменным (кроме угла вылета частицы y), совпадает с ДС бинарной реакции $A(x,y)B^*$, описываемой механизмом рис. 1, б.

Поэтому можно сразу рассмотреть амплитуду этой реакции. Достоинством этой модели является ее простота. Кроме того, в дисперсионном подходе ДС параметризуется непосредственно через ширину резонанса Γ , являющуюся экспериментально измеряемой величиной. Кроме того, при известной из эксперимента величине Γ путем сравнения рассчитанных ДС с экспериментальными можно получить спектроскопическую информацию о РС – его орбитальном моменте, спине и четности. Но в работе [6] учет вершинных кулоновских эффектов в вершинах полюсной диаграммы осуществлялся лишь в вершине $A+a \rightarrow B$ и без учета трехчастичной кулоновской динамики в механизме передачи. В рамках данной работы предусмотрено обобщение результатов работы [6] с учетом вершинных кулоновских эффектов в обеих трехлучевых вершинах полюсной диаграммы (рис. 1, б) и трехчастичной кулоновской динамики в механизме передачи [7].

В настоящей работе мы представляем результаты сравнения ДС, рассчитанного в рамках обобщенной периферийной модели, с экспериментальными данными реакции $^{12}\text{C}(^3\text{He},d)^{13}\text{N}$ при различных энергиях падающих ионов ^3He и оцениваем влияние трехчастичной кулоновской динамики в механизме передачи протона на извлекаемое значение ширины РС уровня 2.365 МэВ ядра ^{13}N . Всюду ниже используется система единиц $\hbar = c = 1$.

Дифференциальное сечение реакций срыва заряженных частиц в резонансное состояние

В работах [3–6] развита периферийная полюсная модель и приведен математический формализм для реакции срыва в РС. В этом разделе для ясности изложения кратко приведем основные выражения для ДС реакций срыва заряженной частицы $A(x,y)B^*$ в резонансное состояние B^* . В рамках этой модели дифференциальное сечение можно записать в виде

$$\frac{d\sigma}{d\Omega} = |R_a|^2 (2J_{B^*} + 1) G_{ay}^2 \Gamma_a \tilde{\sigma}_{L_i L_f}^{(\text{ПМ})} (E_i, \theta), \quad (1)$$

где G_{ay}^2 – ядерная вершинная константа (ЯВК) для $y+a \rightarrow x$, пропорциональная соответствующему асимптотическому нормировочному коэффициенту [8]; Γ_a – ширина РС ядра B^* в $(A+a)$ -канале, где a в нашем случае есть протон; $|R_a|^2$ – перенормировочный фактор, который появляется при учете трехчастичных кулоновских эффектов. При этом R_a появляется в виде множителя в периферийных парциальных амплитудах, как показано в работах [7, 9]. В (1) $\tilde{\sigma}_{L_i L_f}^{(\text{ПМ})} (E_i, \theta)$ – известная функция [4, 5], зависящая от свободных подгоночных параметров обрезания L_i и L_f угловых моментов во входном и выходном каналах реакции и определяющая форму углового распределения рассчитываемых ДС в области главного максимума углового распределения. Оптимальные значения параметров $L_i = L_i^{\text{opt}}$ и $L_f = L_f^{\text{opt}}$ определяются путем наилучшего описания рассчитываемой функцией $\tilde{\sigma}_{L_i L_f}^{(\text{ПМ})} (E_i, \theta)$ формы углового распределения экспериментального ДС. В этом случае, если в правой части выражения (1) известны спин РС J_{B^*} и значение ЯВК G_{ay}^2 , то соотношение (1) позволяет определить величину ширины Γ_a путем нормировки рассчитанной функции $\tilde{\sigma}_{L_i^{\text{opt}} L_f^{\text{opt}}}^{(\text{ПМ})} (E_i, \theta)$ к экспериментальному сечению в области главного максимума углового распределения.

Функция $\tilde{\sigma}_{L_i^{\text{opt}} L_f^{\text{opt}}}^{(\text{ПМ})} (E_i, \theta)$ имеет следующий вид:

$$\begin{aligned} \tilde{\sigma}_{L_i^{\text{opt}} L_f^{\text{opt}}}^{(\text{ПМ})} (E_i, \theta) = & \pi^2 \frac{m_a^2}{E_i E_f} \frac{1}{\mu_{ay}^2 \mu_{Aa} q_o} \frac{k_f}{k_i} \sum_{j_x j_B JM} \left| \sum_{l_x l_b} \exp \left\{ i \frac{\pi}{2} (l_x + l_B + \eta_x + i \eta_o) \right\} \times \right. \\ & \left. \times W(l_x j_x l_B j_B; J_a J) T_{L_i L_f} (l_x l_B JM; \mathbf{k}_f, \mathbf{k}_i) \right|^2, \end{aligned} \quad (2)$$

где $E_i = k_i^2 / 2\mu_{xA}$, $E_f = k_f^2 / 2\mu_{yB}$; k_i и E_i (k_f и E_f) – импульс и кинетическая энергия относительного движения частиц x и A (y и B); l_x и j_x (l_B и j_B) – орбитальный и полный угловые моменты передаваемой частицы a в ядре x (B^*) соответственно; $J_j(M_j)$ – спин (его проекция) частицы j ; $\eta_x = Z_y Z_a e^2 \mu_{ya} / \kappa_{ya}$ и $\eta_o = Z_A Z_a e^2 \mu_{Aa} / q_o$ – кулоновские параметры связанного (ya) и резонансного (Aa) состояний соответственно. Согласно [4–6], в окрестности узкого изолированного РС ($\Gamma/2E_o \ll 1$) для волнового числа q_o и кулоновского параметра η_o можно использовать приближения $q_o = i\kappa_{Aa}$ (где $\kappa_{Aa} = \sqrt{2\mu\varepsilon_{Aa}}$) и $\eta_o = -i\eta_B$ (где $\eta_B = Z_A Z_a e^2 \mu_{Aa} / \kappa_{Aa}$) для резонансного состояния остаточного ядра $B^*[(A+a)]$, где $q_o = \sqrt{2\mu E_o}$, E_o и Γ – резонансная энергия и полная ширина резонансного состояния B^* .

Формула (2) является обобщением соответствующих формул работ [5, 6], которые были получены в полюсной периферийной модели при $l_x = 0$, $\eta_x = 0$ без учета трехчастичной кулоновской динамики в механизме срыва. В (2) учитывается вклад трехчастичной кулоновской динамики в механизме передачи и полагается, что $l_x \neq 0$ и $\eta_x \neq 0$.

Величина $T_{L_i L_f}(l_x l_B JM; \mathbf{k}_f, \mathbf{k}_i)$ имеет вид

$$T_{L_i L_f}(l_x l_B JM; \mathbf{k}_f, \mathbf{k}_i) = -(-1)^{l_x + l_B} R_a \sum_{l_i=L_i}^{\infty} \sum_{l_f=L_f}^{\infty} S_{l_i, l_f}^{(i, f)} \sum_{l_f \neq v} (-1)^v \hat{v} \sqrt{\hat{l}_i \hat{l}_f} \times \\ \times C_{\lambda_a 0 v 0}^{l_i 0} C_{\lambda_b 0 v 0}^{l_f 0} W(\lambda_a \lambda_b l_i l_f; Jv) A(l_x l_B l_i l_f; E_i) B_{v; l_x, l_B}(E_i; \xi, \Delta_x, \Delta_o, \eta_x, \eta_o) Y_{l_f JM}(\mathbf{n}_i, \mathbf{n}_f), \quad (3)$$

где $W(\lambda_a \lambda_b l_i l_f; Jv)$ – коэффициент Рака; $\mathbf{n}_{i,f} = \mathbf{k}_{i,f} / k_{i,f}$ и $S_{l_i, l_f}^{(i, f)} = e^{i(\delta_{l_i}^{(i)} + \delta_{l_f}^{(f)})}$, $\delta_{l_i}^{(i)}$ и $\delta_{l_f}^{(f)}$ – комплексные ядерные фазы упругого рассеяния во входном и выходном каналах, рассчитываемые в оптической модели ядра; $R_a = N_r(\eta_i, \eta_f, \eta_x, \eta_o) / N_{DWBA}(\eta_i, \eta_f, \eta_x, \eta_o)$ – фактор, возникающий из-за учета трехчастичной кулоновской динамики в механизме передачи заряженных частиц, где

$$N_r(\eta_i, \eta_f, \eta_x, \eta_o) = \frac{\Gamma(1-\eta_x - i\eta_o)}{\Gamma(1-i\eta_o)\Gamma(1-\eta_x)} \Delta_{ya}(k_f, k_i) \exp\left\{-\frac{\pi}{2}(\eta_i + \eta_f)\right\} \times \\ \times \left[(m_y k_i / m_x)^2 - (k_f + i\kappa_x)^2 \right]^{i\eta_f} \left[(m_A k_f / m_B)^2 - (k_i - \kappa_B)^2 \right]^{i\eta_i}. \quad (4)$$

Здесь η_i (η_f) – кулоновский параметр в начальном (конечном) состоянии рассматриваемой реакции, а фактор Δ_{ya} , возникающий в результате кулоновского взаимодействия «остовов» A и y , для передачи частицы a ядру B^* в РС определяется выражением [10]

$$\Delta_{ya}(k_f, k_i) = \left(\frac{(m_x m_A \varepsilon_{ay})^{1/2} + (m_y m_B E_o)^{1/2} + i(m_a m_{Ay} E_{Ay})^{1/2}}{(m_x m_A \varepsilon_{ay})^{1/2} + (m_y m_B E_o)^{1/2} - i(m_a m_{Ay} E_{Ay})^{1/2}} \right)^{i\eta_A}, \quad (5)$$

$E_{Ay} = [m_{xA} E_i - m_B E_o + m_x \varepsilon_{ay}] / m_{Ay}$, где $m_{Ay} = m_A + m_y$ и $m_{xA} = m_x + m_A$. А $N_{DWBA}(\eta_i, \eta_f, \eta_x, \eta_o)$ – кулоновский перенормировочный фактор для периферийных парциальных амплитуд МИВ, и его явный вид можно получить, используя результаты работ [8, 11].

$$\xi(k_f, k_i) = \frac{k_i^2 + \left(\frac{m_A}{m_{Aa}} k_f \right)^2 + q_o^2}{2k_i \frac{m_A}{m_{Aa}} k_f} = \frac{k_f^2 + \left(\frac{m_y}{m_{ya}} k_i \right)^2 + \kappa_{ya}^2}{2 \frac{m_y}{m_{ya}} k_i k_f} \quad (6)$$

– положение полюсной особенности амплитуды реакции $z = \mathbf{k}_i \cdot \mathbf{k}_f = \cos \theta$ (θ – угол между направлениями импульсов \mathbf{k}_i и \mathbf{k}_f) [6].

$$\begin{aligned}
A(l_x l_B l_f; E_i) = & (i \kappa_{ay})^{-l_x} q_o^{-l_B} (2l_x + 1)(2l_B + 1) \sum_{\lambda_a \lambda_b} (-m_y k_i / m_x)^{\lambda_a} k_f^{l_x - \lambda_a} \times \\
& \times (-k_i)^{\lambda_b} (m_A k_f / m_B)^{\lambda_B} \left(\frac{(2l_x)!}{(2\lambda_a)!(2l_x - 2\lambda_a)!} \right)^{1/2} \left(\frac{(2l_B)!}{(2\lambda_b)!(2l_B - 2\lambda_b)!} \right)^{1/2} \times \\
& \times C_{\lambda_a 0 \lambda_b 0}^{l_i 0} C_{l_x - \lambda_a 0 l_B - \lambda_b 0}^{l_f 0} X(\lambda_a l_x - \lambda_a l_x; \lambda_b l_b - \lambda_b l_B; l_i l_f J),
\end{aligned} \quad (7)$$

где $\binom{n}{m}$ – биномиальный коэффициент; X – коэффициент Фано.

Парциальные амплитуды $B_{v; l_x, l_B}(E_i; \xi, \Delta_x, \Delta_o, \eta_x, \eta_o)$ полюсной диаграммы (см. рис. 1, δ) имеют следующий вид:

$$\begin{aligned}
B_{v; l_x, l_B}(E_i; \xi, \Delta_x, \Delta_o, \eta_x, \eta_o) = & - \left(\frac{m_a}{k_i k_f} \right) \frac{1}{2v+1} \sum_{v_1 v_2} (2v_1 + 1)(2v_2 + 1) [\xi (C_{v_1 0 v_2 0}^{v 0})^2 - \\
& - \frac{v+1}{2v+3} (C_{v_1 0 v_2 0}^{v+10})^2 - \frac{v}{2v-1} (C_{v_1 0 v_2 0}^{v-10})^2] q_{v_1}^{l_x}(\xi, \Delta_x, \eta_x) q_{v_2}^{l_B}(\xi, \Delta_o, \eta_o),
\end{aligned} \quad (8)$$

где $\Delta_x = \kappa_x^2 / 2 \frac{m_y}{m_x} k_i k_f$, $\Delta_o = q_o^2 / 2 k_i \frac{m_A}{m_B} k_f$ и $C_{v_1 0 v_2 0}^{v 0}$ – коэффициент Клебша – Гордана. Отметим, что в выражении (8) для $B_{v; l_x, l_B}(E_i; \xi, \Delta_x, \Delta_o, \eta_x, \eta_o)$ кулоновские части вершинных формфакторов для РС ядра B и связанного состояния x учтены явно и имеют вид

$$\begin{aligned}
q_{v_1}^{l_x}(\xi, \Delta_x, \eta_x) = & \frac{e^{-i\pi\eta_x/2} (-1)^{l_x+1}}{\Gamma(l_x + 1 + \eta_x)} \int_{\xi}^{\infty} d\alpha \left(\frac{\sqrt{\alpha - \xi + \Delta_x} - \sqrt{\Delta_x}}{\sqrt{\alpha - \xi + \Delta_x} + \sqrt{\Delta_x}} \right)^{\eta_x} \times \\
& \times (\alpha - \xi)^{l_x} (\alpha^2 - 1)^{-(l_x+1)/2} Q_{v_1}^{l_x+1}(\alpha),
\end{aligned} \quad (9)$$

$$\begin{aligned}
q_{v_2}^{l_B}(\xi, \Delta_o, \eta_o) = & \frac{e^{\pi\eta_o/2} (-1)^{l_B+1}}{\Gamma(l_B + 1 + i\eta_o)} \int_{\xi}^{\infty} d\alpha \left(\frac{\sqrt{\alpha - \xi - \Delta_o} + i\sqrt{\Delta_o}}{\sqrt{\alpha - \xi - \Delta_o} - i\sqrt{\Delta_o}} \right)^{i\eta_o} \times \\
& \times (\alpha - \xi)^{l_B} (\alpha^2 - 1)^{-(l_B+1)/2} Q_{v_2}^{l_B+1}(\alpha),
\end{aligned} \quad (10)$$

где $\Gamma(x)$ – гамма-функция; $Q_v^{l+1}(\alpha)$ – присоединенная функция Лежандра второго рода.

Анализ реакции срыва протона $^{12}\text{C}(\text{He},d)^{13}\text{N}$ в первое резонансное состояние ядра ^{13}N

Основная идея развиваемой в данной работе обобщенной периферийной модели (ОПМ) для реакции срыва заряженной частицы в РС $A(x,y)B^*$, где $x = y+a$ и $B^* = A+a$, с учетом трехчастичных кулоновских эффектов в начальном, промежуточном (в механизме передачи) и конечном состояниях. Выражение для ДС реакции $^{12}\text{C}(\text{He},d)^{13}\text{N}^*$ дано в предыдущем разделе. Здесь мы представим результаты анализа реакции $^{12}\text{C}(\text{He},d)^{13}\text{N}^*$ с образованием конечного ядра в первом возбужденном резонансном состоянии ядра ^{13}N ($E^* = 2.365$ МэВ; $J^\pi = 1/2^+$), полученные в рамках этой модели. Анализируемые экспериментальные данные были получены в [12] при энергиях $E_{^3\text{He}} = 16, 17, 18$ МэВ и в [13] при $E_{^3\text{He}} = 81.4$ МэВ. Экспериментальные данные при $E_{^3\text{He}} = 34$ МэВ были извлечены из результатов экспериментов, выполненных в [14].

Значение квадрата ЯВК для $^3\text{He} \rightarrow d+p$ бралось равным $G_{^3\text{He}}^2 = 1.34$ Фм [15]. Параметры оптических потенциалов взяты из обзора [16], спин-орбитальные члены не учитывались. Отметим, что использование различных оптических потенциалов, одинаково хорошо описывающих упругое рассеяние в начальном (конечном) состоянии, но дающих различные наборы фаз рассеяния, дает практически одинаковые угловые распределения.

Из формулы (1) следует, что дифференциальное сечение пропорционально величине $(2J_{B^*} + 1)\Gamma_p$, которая может быть определена путем сравнения рассчитанных и экспериментальных ДС. В этих расчетах значения фактора $(2J_{B^*} + 1)\Gamma_p$ и параметров обрезания $L_{i,f}^{(\text{opt})}$ по орбитальным моментам во входном и выходном каналах соответственно подбирались так, чтобы обеспечить наилучшую подгонку рассчитанных ДС к экспериментальным в области главного максимума углового распределения.

Вычисленные угловые распределения вместе с экспериментальными данными приведены на рис. 2, 3 и 4. Видно, что теоретические угловые распределения хорошо воспроизводят экспериментальные в области главного максимума и хуже – вне его. В связи с этим следует отметить, что в наших расчетах учтен вклад в периферийные парциальные амплитуды только механизма, имеющего ближайшую к физической ($-1 \leq \cos \theta \leq 1$) область по $\cos \theta$ особенность, расположенную в точке $\cos \theta = \xi$ (диаграмма рис. 1, б), и дающего основной вклад в амплитуду реакции только в области главного максимума углового распределения. В области же минимумов и последующих максимумов существенный вклад дают более сложные механизмы, имеющие более далекие особенности по $\cos \theta$, которые здесь не учитывались. Поэтому наилучшее описание экспериментальных данных именно в области главного максимума дает требуемую спектроскопическую информацию о РС.

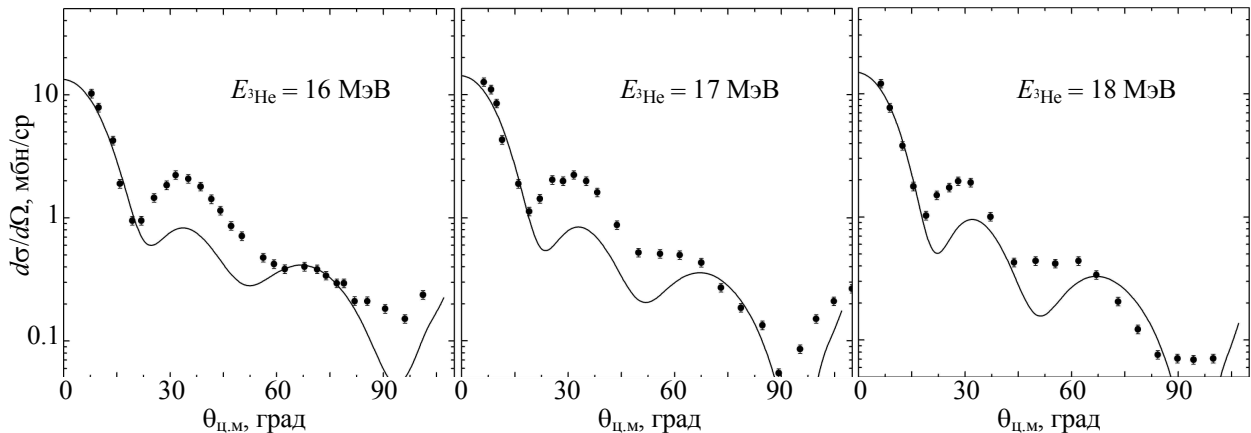


Рис. 2. Угловое распределение ДС реакции $^{12}\text{C}(\text{He},d)^{13}\text{N}$ с возбуждением резонансного состояния ($E^* = 2.365$ МэВ; $J^\pi = 1/2^+$) при энергиях $E_{\text{He}} = 16, 17$ и 18 МэВ. Кривые – результаты расчета по ОПМ, полученные при $L_i^{\text{opt}} = 3$ и $L_f^{\text{opt}} = 2$. Точки – экспериментальные данные из [12]

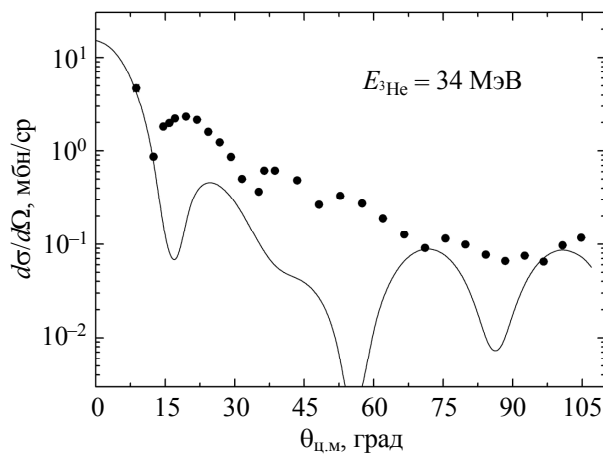


Рис. 3. То же, что на рис. 2 при энергии $E_{\text{He}} = 34$ МэВ. Кривая – результаты расчета по ОПМ, полученные при $L_i^{\text{opt}} = 4$ и $L_f^{\text{opt}} = 5$. Точки – экспериментальные данные из [14]

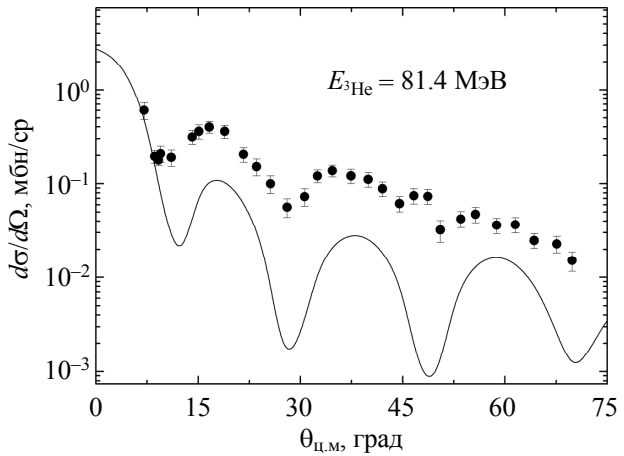


Рис. 4. То же, что на рис. 2 при энергии $E_{\text{He}} = 81.4$ МэВ. Кривая – результаты расчета по ОПМ, полученные при $L_i^{\text{opt}} = 5$ и $L_f^{\text{opt}} = 6$. Точки – экспериментальные данные из [13]

В таблице приведены найденные значения ширины РС Γ_p ($E^* = 2.365$ МэВ; $J^\pi = 1/2^+$) ядра ^{13}N , полученные в рамках ОПМ из анализа рассмотренных реакций, используя известные из независимых экспериментов значения орбитального момента ядра ^{13}N $l_B = 1$, спин и четность РС ($J^\pi = 1/2^+$). Также приведена оценка влияния трехчастичной кулоновской динамики в механизме передачи протона, даваемого фактором $|R_p|^2$, на извлекаемую величину ширины Γ_p . Усредненное значение Γ_p по результатам анализа при разных энергиях с его среднеквадратичной погрешностью равно (30.1 ± 0.8) кэВ. Эта величина значительно лучше согласуется с новым экспериментальным значением (31.7 ± 0.8) кэВ [17], чем с ранее полученным в [18] значением (35 ± 1) кэВ. Проведенный нами анализ показывает, что учет трехчастичных кулоновских эффектов, определяемый величиной $|R_p|^2$, существенно изменяет абсолютную величину расчетного ДС и приводит к уменьшению извлекаемой величины Γ_p . Из таблицы видно, что учет трехчастичных кулоновских эффектов изменяет значения рассчитанных ДС в 1.15–1.25 раза в зависимости от энергии падающих ионов ^3He .

Извлекаемые резонансные ширины Γ_p для ядра ^{13}N ($E^* = 2.365$ МэВ; $J^\pi = 1/2^+$)

$E_{^3\text{He}}$, МэВ	ξ	$ R_p ^2$	Γ_p , кэВ	Γ_p , кэВ	
				Наш результат	Эксперимент
16 [11]	1.1457	1.2472	30.37	30.1±0.8	31.7±0.8 [17]
17 [11]	1.1326	1.2441	31.82		
18 [11]	1.1221	1.2412	29.04		35±1 [18]
34 [13]	1.0632	1.2052	31.80		
81.4 [12]	1.0408	1.1540	27.42		

Таким образом, согласие рассчитанных угловых распределений с экспериментальными в области главного максимума углового распределения и извлекаемой из анализа экспериментальной ширины Γ_p для РС ядра ^{13}N ($E^* = 2.365$ МэВ; $J^\pi = 1/2^+$) свидетельствует о возможности использования развитого здесь ОПМ с учетом трехчастичных кулоновских эффектов для изучения резонансных состояний на основе информации о резонансных ширинах.

Заключение

Выполнен анализ ДС периферийной реакции передачи протона $^{12}\text{C}(^3\text{He},d)^{13}\text{N}$ в первое резонансное состояние ($E^* = 2.365$ МэВ; $J^\pi = 1/2^+$) конечного ядра ^{13}N при различных энергиях падающих ^3He -ионов и получено значение протонной ширины РС ядра ^{13}N , которое хорошо согласуется с экспериментальным значением. Получена оценка влияния трехчастичной кулоновской динамики на извлекаемое значение ширины, которое уменьшает его величину более чем на 20%.

Развитая в рамках данной работы ОПМ реакций срыва заряженной частицы в РС может рассматриваться как альтернативный подход обычно используемому МИВ. Расчеты показывают, что оба метода дают близкие угловые распределения, но различаются способами параметризации амплитуд реакции. В ОПМ амплитуда реакции зависит только от экспериментально наблюдаемых свойств резонанса: его энергии, спина, орбитального момента, полной и парциальных ширин. При этом не делается каких-либо предположений о физической природе анализируемого резонанса. В терминах модельного описания резонанс может соответствовать как простому одночастичному возбуждению, так и сложному многочастичному возбуждению системы. Дифференциальное сечение в ОПМ пропорционально ширине Γ_p (формула (1)), в то время как в МИВ дифференциальное сечение реакции срыва частицы a в РС B^* параметризуется через спектроскопический фактор конфигурации $A+a$ в B^* , который экспериментально не измеряется. Рассчитываемое при этом так называемое приведенное ДС в МИВ зависит от модельной одночастичной ширины резонанса. В ОПМ дифференциальное сечение зависит от небольшого числа подгоночных параметров – параметров обрезания по орбитальным моментам во входном и выходном каналах (L_i и L_f) и фактора $(2J_{B^*} + 1)\Gamma_p$, определяющего абсолютную нормировку сечения.

Авторы выражают благодарность проф. Л.Д. Блохинцеву за полезные замечания.

СПИСОК ЛИТЕРАТРЫ

1. Fortune H.T. // Phys. Rev. – 2020. – V. C104. – P. 024333 (3 p).
2. Bunakov V.E. // Nucl. Phys. – 1970. – V. A140. – P. 241–256.
3. Джамалов П.О., Долинский Э.И. // ЯФ. – 1971. – Т. 5. – С. 753–763.
4. Джамалов П.О., Долинский Э.И., Мухамеджанов А.М. // ЯФ. – 1972. – Т. 15. – С. 258–271.
5. Dolinsky E.I., Dzhamalov P.O., Mukhamedzhanov A.M. // Nucl. Phys. – 1973. – V. A202. – P. 97–122.
6. Мухамеджанов А.М., Ярмухамедов Р., Джамалов П.О. // ЯФ. – 1983. – Т. 37. – С. 1405–1416.
7. Кайумов Sh.S., Mukhamedzhanov A.M., Yarmukhamedov R., Borbely I. // Z. Phys. – 1990. – V. A336. – P. 297–302.
8. Блохинцев Л.Д., Борбей И., Долинский Э.И. // ЭЧАЯ. – 1977. – Т. 8. – С. 1189–1245.
9. Аваков Г.В., Блохинцев Л.Д., Мухамеджанов А.М., Ярмухамедов Р. // ЯФ. – 1986. – Т. 43. – С. 824–833.
10. Kajumov Sh.S., Mukhamedzhanov A.M., Yarmukhamedov R. // Z. Phys. – 1988. – V. A331. – P. 315–322.
11. Igamov S.B., Nadirbekov M.C., Yarmukhamedov R. // Phys. Atom. Nucl. – 2007. – V. 70. – P. 1694–1705.
12. Fortune H.T., Gray T.J., Trost W., Fletcher N.R. // Nucl. Phys. – 1969. – V. 179. – P. 1033–1046.
13. Коуама К. // J. Phys. Soc. Jpn. – 1976. – V. 41. – P. 1445–1452.
14. Артемов С.В., Гулямов И.Р., Запаров Э.А. и др. // ЯФ. – 1996. – Т. 59. – С. 454–465.
15. Artemov S.V. et al. // Phys. Atom. Nucl. – 2008. – V. 71. – P. 998–1011.
16. Perey C.M., Perey F.G. // Atom. Data Nucl. Data Tables. – 1976. – V. 17. – P. 1–101.
17. Ajzenberg-Selove F. // Nucl. Phys. – 1991. – V. A523. – P. 1–196.
18. Ajzenberg-Selove F. // Nucl. Phys. – 1970. – V. 152. – P. 1–221.

Поступила в редакцию 24.06.2022,
принята в печать 06.10.2022.

Туракулов Собир Абдумуминович, докт. филос. по физ.-мат. наукам (Ph.D.), ст. науч. сотр. ИЯФ АН РУз, доцент НУУз, e-mail: turakulov1983@gmail.com;

Артемов Сергей Викторович, д.ф.-м.н. (Dr.Sc.), профессор, гл. науч. сотр. ИЯФ АН РУз, e-mail: artemov@inp.uz;

Ярмухамедов Рахим, д.ф.-м.н. (Dr.Sc.), профессор, гл. науч. сотр. ИЯФ АН РУз.